



高压静电场

解广润编著

上海科学技术出版社

统一书号 13119·481

定 价 2.45 元

高 壓 靜 电 場

解 广 潤 編 著

上 海 科 學 技 术 出 版 社

内 容 提 要

本书介绍静电场的各种计算方法(包括直接积分法、镜象法、拉斐法、复变函数法、反转法、分离变数法、格林法、网格法、格林倍格法以及近似法)、图解方法、实验方法和调整方法;并具体处理了一些在工程上常常遇到的电场问题,得出技术结论。

本书可作为高等学校电机系及物理系的教学参考用书,特别适宜于高压工程专业的师生和从事高压工程的工作人员参考。

高 压 静 电 场

解 广 润 编 著

*

上海科学技术出版社出版

(上海瑞金二路450号)

上海市书刊出版业营业登记证093号

新华书店上海发行所发行 各地新华书店经售

商务印书馆上海印刷厂印刷

*

开本 850×1168 1/32 印张 14 20/32 字数 378,000

1962年11月第1版 1962年11月第1次印刷

印数 1—2,500

统一书号: 13119 · 481

定 价: (十四) 2.45 元

序

高压静电场是高电压工程专业的一个重要問題。大家知道，在高电压下絕緣会发生损坏，高压工作者的一个主要任务就是同这种現象作斗争。但是严格說來，并不是高电压的本身，而是作用在絕緣体中的强电场使絕緣损坏的。所以，詳細研究在各种电极情况下电场的分布規律，就成为高压工作者的重要課題了。

本书的一部分內容是根据編者在哈尔滨工业大学讲授“静电場”一課所用讲稿編写而成的。书中比較全面地介紹了静电場的理論知識和实验方法，用它們研究了一系列的工程实际問題，并导出技术結論。本书的具体內容如下：

第一章介紹静电場的基本关系式，最后討論了介质的临界电場强度、电場的不均匀系数和絕緣物的利用系数。

第二章討論在高压工程中常常遇到的一些简单几何形状电极的电場：同心球极的电場、同軸圓柱間的电場、平行圓柱間的电場、不同心的两球間的电場；并且討論了电場最大值的和电容值的近似計算問題。本章中对于分裂相綫的电場和高压球隙放电器的电場曾作詳細的計算。

第三章討論用拉麦方法計算椭球、椭圓盤、棒形电极、針-板电极、針-針电极、单极旋轉双曲綫面电极以及垂鏈綫旋轉面电极的电場。在本章中对于高压工程中的一个重要問題——接地問題——进行了計算，例如对于半球形接地器、圓盤接地器和管形接地器等的接地电阻进行了計算，并对管形接地器的“接触电压”和“跨步电压”以及危險区范围进行了分析。在本章中用数学方法論証了針-板电場是最不均匀的电場，因之在高压工程中研究不均匀电場的問題时，可以用針-板电場作为典型。这一章也論及了高压分压器屏蔽圓盤电場的計算方法。在本章的后面对于高压导綫穿

壘洞的結構問題進行了深入的研究，所得結論可用于實際設計。

第四章介紹用保角變換法計算電場的問題，其中除了對某些典型電極形狀的電場作了計算之外，還對以下的工程實際問題進行了研究：例如帶式接地器的接地電阻、局部放電電壓和絕緣厚度的關係、計及邊緣效應時平板電容器的電容、標準平板電容器保護環的寬度、高壓空氣電容器的羅高夫斯基電極、電容器型絕緣結構中的邊緣效應以及樹林對架空輸電線路的屏蔽作用等等。在本章的最後對於有圓弧角的多角形電極的電場的計算作了介紹。

第五章討論了計算電場的反轉法。用這種方法去計算各種相交球電極的電場是很方便的。本章並證明了將電極形狀稍加改變並不影響其電容值。

第六章是用分離變數法解拉普拉斯方程式，引出了在笛卡尔直角坐标中、在圓柱坐标中和在圓球坐标中拉普拉斯方程式的全面解答；並且引出了在旋轉拋物綫面坐标中、在旋轉扁橢圓坐标中和在旋轉長橢圓坐标中拉普拉斯方程式在某些特殊情況下的解答。在本章中探討的實際問題有：高壓靜電電壓表電場的補償問題、扇形心綫三心電纜的電容、在均勻電場中導電圓柱體（例如雷云電場中的輸電綫）使電場變形的情況、不完全同心的球形電容器的電容、針式支持絕緣子的電場、簡單套管的電場以及有兩種土壤層時的管形接地器的接地電阻等等。

第七章首先介紹格林理論，然後用它論証互換原理和靜電場的單一性，並求出泊松方程式的特解。在本章中還對於幾種具體情況下格林函數的推求及其應用作了說明。

第八章是用網格法計算電場，並算出了電纜受到變形後的電場。

第九章討論電介質的極化，計算了變壓器油中的水滴、炭粒或氣泡使耐壓強度下降的問題，山嶺使雷云電場變形的問題以及高壓空氣斷路器滅弧室中的電場；並比較了避雷針與避雷綫的電場。本章還介紹了格林倍格關於有各種不同介質時電場的計算方

法。对于介质在电場中受力的問題也給予充分的注意，并論証了纖維在变压器油中会自动在电极間搭成小桥的問題。

第十章說明电場的图解法和各种實驗法，其中对于用电解槽进行模拟實驗的問題以及用西林电桥測量电容的問題作了詳尽的探討。

第十一章介紹調整电場的各种方法，其中介紹了在以下各种电机和电器中調整电場的方法：保护間隙的奧斯金电极、絕緣子串的保护环、高压閥型避雷器的均压环、支持式絕緣子的內凸电极、瓷套管的法輪盤、高压导綫穿墙洞的电极結構、管型避雷器的中間电极、电容器式套管的中間电极、靜电电压表的补偿环、电纜的多层介质絕緣以及电机定子高压导綫出槽处的半导体漆层等等。

在附录中列出了多种电极的电容公式，它是进行实际設計时得力的参考工具。

从上述本书的內容可以看出，在討論中不可避免地要牽涉到一些复杂的数学問題。編者注意到讀者可能遇到的数学困难，所以本书在叙述上力求深入淺出，讲清物理概念，而在必須用复杂的数学方法时，则力求从最基本的数学概念談起，这样就能保証具备一般的高等数学知識的讀者在学习本书时不会发生太多的困难。

本书的第十章和第十一章是陈慈萱同志协助写出的。教研室的同志們曾对本书提供不少宝贵意見，特志謝意。

如蒙讀者賜教，非常欢迎。来信請由上海科学技术出版社轉交。

解 广 潤

于上海新園

目 录

序

第一章 静电場的基本关系式.....	1
§ 1.1 庫倫定律.....	1
§ 1.2 电感应强度和高斯定律.....	7
§ 1.3 电位及电压.....	12
§ 1.4 电容.....	18
§ 1.5 部分电容.....	23
§ 1.6 笛卡尔直角坐标中高斯定律的微分形式.....	32
§ 1.7 在其他各种坐标系統中的拉普拉斯方程式.....	34
§ 1.8 临界電場强度.....	41
习題	43
第二章 几种简单几何形状电极的电場.....	44
§ 2.1 同心球极間的电場.....	44
§ 2.2 同軸圓柱电极間的电場.....	47
§ 2.3 鏡象法——等位面法.....	51
§ 2.4 两平行圓柱电极間的电場.....	58
§ 2.5 分裂相綫的电場.....	64
§ 2.6 两不同心球之間的电場.....	83
§ 2.7 球隙放电器电場的近似計算.....	88
§ 2.8 电場最大值的近似計算.....	93
§ 2.9 电容的近似計算.....	95
习題	103
第三章 拉麦方法——等位面和特定曲面組相吻合的电場的 解法.....	104
§ 3.1 代表等位面的曲面組所需滿足的条件.....	104
§ 3.2 曲面組 $\frac{x^2}{a^2+\theta} + \frac{y^2}{b^2+\theta} + \frac{z^2}{c^2+\theta} = 1$ 所代表的等位面.....	105
§ 3.3 带电椭球导体的电場.....	108
§ 3.4 带电椭圆盘的电場.....	110

§ 3.5 带电的椭圆旋转体及棒形电极的电场.....	114
§ 3.6 双极旋转双曲面的电场.....	123
§ 3.7 单极旋转双曲面的电场.....	125
§ 3.8 垂直线旋转面.....	130
习题	140
第四章 用保角变换法解静电场问题.....	141
§ 4.1 正则复变函数的性质.....	141
§ 4.2 用 $W = Z^2$ 的函数进行变换	146
§ 4.3 用 $W = Z^{\frac{1}{2}}$ 的函数进行变换	147
§ 4.4 用 $W = \ln Z$ 的函数进行变换	149
§ 4.5 椭圆柱体或双曲线柱体的电场.....	152
§ 4.6 线性变换.....	158
§ 4.7 利用线性变换求不同轴圆柱电极间的电场.....	161
§ 4.8 交角为 α 的两电极间的电场.....	163
§ 4.9 许瓦兹变换.....	168
§ 4.10 直角对平板的电场.....	169
§ 4.11 平板电容器的边缘电场.....	173
§ 4.12 电容器型绝缘结构中的边缘效应.....	182
§ 4.13 两个棱角之间的电场.....	185
§ 4.14 树林对架空输电线的屏蔽作用.....	188
§ 4.15 有圆弧角的多角形电极的电场.....	194
习题	200
第五章 用反转法解静电场问题.....	202
§ 5.1 反转法中的几何关系.....	203
§ 5.2 反转前后的电位值的关系.....	206
§ 5.3 两相切金属球和点电荷之间的吸力.....	208
§ 5.4 两正交导体球的电场.....	210
习题	212
第六章 用分离变数法解拉普拉斯方程式.....	213
§ 6.1 直角坐标系统(笛卡尔坐标系统)中拉普拉斯方程式的解.....	213
§ 6.2 圆柱坐标系统中拉普拉斯方程式的解.....	222
§ 6.3 在均匀电场中导电圆柱体使电场变形的情况.....	231
§ 6.4 在金属圆桶中的电场分布.....	234
§ 6.5 高压静电电压表电场的补偿.....	237

§ 6.6 扇形心綫电纜的电場.....	241
§ 6.7 圓球坐标系統中拉普拉斯方程式的解.....	249
§ 6.8 两球球心有一很小距离的球形电容器.....	258
§ 6.9 两个带电的半球壳的电場.....	261
§ 6.10 針式支持絕緣子的电場.....	264
§ 6.11 简单套管的电場.....	270
§ 6.12 有两种土壤层时的管形接地电极.....	275
习题	280
第七章 格林理論及其应用.....	281
§ 7.1 格林公式.....	281
§ 7.2 互換原理.....	283
§ 7.3 拉普拉斯方程式的解式的唯一性.....	284
§ 7.4 泊松方程式的特解.....	287
§ 7.5 格林函数.....	290
§ 7.6 “上半空間”的电場問題.....	292
§ 7.7 球形边界的电場問題.....	295
§ 7.8 圆形边界的电場問題.....	297
§ 7.9 第二类边界条件时的格林函数.....	300
§ 7.10 区域中間部分电場的近似計算.....	302
习题	306
第八章 用网格法計算电場.....	307
§ 8.1 网格法的原理.....	307
§ 8.2 填出网格各結点上电位的步驟.....	309
§ 8.3 极坐标时网格的画法.....	316
§ 8.4 变形电纜的电場.....	319
习题	321
第九章 电介质的极化.....	322
§ 9.1 电介质的极化.....	322
§ 9.2 电介质存在时的电場計算.....	326
§ 9.3 介质中的电感应强度.....	329
§ 9.4 电力線在介质界面上的折射.....	330
§ 9.5 有介质界面时的鏡象法.....	334
§ 9.6 均匀电場中的介质球使电場变化的情况.....	336
§ 9.7 均匀电場中的介质椭圆柱体使电場变化的情况.....	344

§ 9.8 高压空气断路器灭弧室中的电场.....	348
§ 9.9 在有各种不同的均匀介质时，计算电场的方法（格林倍格法）.....	361
§ 9.10 在交界面为无穷大平面的两种介质中的电场分布.....	363
§ 9.11 均匀介质圆柱体(ϵ_2)放在无穷大的另一种介质(ϵ_1)中的电场分布.....	367
§ 9.12 在均匀介质中有一导体球时电场的分布.....	371
§ 9.13 在导体平板上有一介质半圆柱体时电场的分布.....	375
§ 9.14 介质在电场中所受的力.....	376
§ 9.15 在各向异性介质中电场的计算.....	384
习题	389
第十章 电场的图解和实验法.....	391
§ 10.1 电场的图解法.....	391
§ 10.2 电场实验法概述.....	393
§ 10.3 用探针法测量电位.....	394
§ 10.4 测量绝缘子(或套管)表面上电位分布的方法.....	396
§ 10.5 测量电力线的方法.....	398
§ 10.6 电场的模拟实验法.....	401
§ 10.7 电容的测量.....	410
习题	416
第十一章 电场的调整.....	417
§ 11.1 改变电极形状来调整电场.....	417
§ 11.2 利用中间电极调整电场.....	423
§ 11.3 利用外界电场的影响调整原有电场.....	433
§ 11.4 适当配用不同介电系数的介质来调整电场.....	433
§ 11.5 利用电阻的电位降影响来调整电场.....	435
习题	438
附录 各种电极的电容公式.....	439
参考文献.....	458
人名中外文对照表.....	460
索引.....	461

第一章 靜電場的基本关系式

§ 1.1 庫倫定律

庫倫用實驗的方法証明，在無窮大的均勻電介質（絕緣體）中，兩個靜止的集中電荷（點電荷）之間互相的作用力 F 的大小與兩電荷間距離 r 的平方成反比，而與各自的電荷量 Q 和 q 都成正比； F 的方向為沿兩電荷間聯線的方向，當兩電荷極性相同時為推斥力，當兩電荷極性相反時為吸引力。將 F 的值寫成數學式子，即成

$$F = \frac{Qq}{kr^2}; \quad (1-1)$$

式中， k 為比例常數，它的值與介質的種類以及 Q 、 q 、 r 和 F 所用的單位有關。在真空中，當 Q 和 q 所用的單位為庫倫， r 的單位為米， F 的單位為牛頓*時，實驗証明

$$k = \frac{1}{9 \times 10^9}.$$

為了應用的便利，通常將(1-1)式中的 k 寫成

$$k = 4\pi\epsilon = 4\pi\epsilon_0\epsilon_r;$$

式中， $\epsilon = \epsilon_0\epsilon_r$ 表示介質的電的性質，叫做電介質的介電系數或介電系數； 4π 為合理化因子，它的引進可使一系列常用的公式得到較為簡化樣子。 ϵ_0 叫真空的介電系數， ϵ_r 叫介質的相對介電系數。令真空的 $\epsilon_r = 1$ ，於是可見

$$\epsilon_0 = \frac{k}{4\pi} = 8.86 \times 10^{-12}.$$

在其他介質中， ϵ_r 不再為 1，而為其他數值。各種常用介質的 ϵ_r 值見 § 1-8 中的表 1-1。

* 牛頓即千克·米/秒²，1 牛頓等於 10^5 达因。

如果將 F 的數值和方向都由數學式加以表达，那末就成为

$$\mathbf{F} = \frac{Qq}{4\pi \varepsilon_0 \varepsilon_r r^3} \mathbf{r}; \quad (1-2)$$

式中， \mathbf{F} 表示作用力的數值和方向； \mathbf{r} 在數值上等于 r ，但它还表示出方向是沿 Q_1 和 Q_2 的聯線上（沿 r 增大的方向）。上式就叫做庫倫定律。

研究的結果表明，两个电荷之間的互相作用力并不是一个电荷对另一个电荷超越空間而作用的結果（所謂超距作用），而是一个电荷周圍的电場对另一个电荷作用的結果。拿上述的两个靜止点电荷 Q 和 q 作为例子： q 所受的力量是电荷 Q 的电場对 q 作用的結果；而 Q 所受的力量則是电荷 q 的电場对 Q 作用的結果。在电荷周圍的介质中是必然要有电場存在的。会使放入其中的試探电荷受到力的作用是电場的一个特性*。如果相对于介质和我們觀察者來說电荷是不动的，同时它的數值也是不变化的，那末其相应的电場将不随时間而变化。这种电場叫做静电场。

为了研究点电荷 Q 的电場，我們可以把点电荷 q 作为試探用的电荷。在試探用的点电荷 q 的引入不致使原来的电荷分布情况发生改变的条件下， q 所受的力 \mathbf{F} 对 q 值的比数就叫做 q 所在点的电場强度 \mathbf{E} ，即

$$\mathbf{E} = \frac{\mathbf{F}}{q}. \quad (1-3)$$

电場强度 \mathbf{E} 是一个向量，单位則显然是牛頓/庫倫，它的方向和 \mathbf{F} 的方向相同。

在相对于介质和我們觀察者是不动的和不变的点电荷 Q 的情况下，在 Q 周圍的介质中任一点的电場强度 \mathbf{E} 不难由 (1-2) 式求出为

$$\mathbf{E} = \frac{Q}{4\pi \varepsilon_0 \varepsilon_r r^3} \mathbf{r}. \quad (1-4)$$

* 关于电場的其他特性和电場的物质性将在 § 1.4 中討論。

如果点电荷不止一个，而是有很多个(Q_1, Q_2, \dots, Q_n)，实验证明，这时在某点的总电场强度将等于各个点电荷在该点的电场强度的向量和，也就是说，可以用迭加原理来计算电场强度。用数学式表示，即成

$$\mathbf{E} = \sum_{i=1}^n E_i = \frac{1}{4\pi \epsilon_0 \epsilon_r} \sum_{i=1}^n \frac{Q_i}{r_i^3} \mathbf{r}_i; \quad (1-5)$$

式中， r_i 为由所研究的点子到电荷 Q_i 之间的距离。电场的这种性质是和 \mathbf{E} 对 Q 的线性关系（即 \mathbf{E} 和 Q 的一次方成正比）分不开的。如果 \mathbf{E} 是和 Q 的其他次方成正比，就显然不可能用迭加原理来计算电场强度了，因为此时将 Q 分成几个较小的部分分别计算再迭加求出的 \mathbf{E} ，和将 Q 一次计算所得的 \mathbf{E} 是不相同的。

对于分布电荷来说，上式可改为积分的形式，即

$$\mathbf{E} = \frac{1}{4\pi \epsilon_0 \epsilon_r} \int \frac{dQ}{r^3} \mathbf{r}. \quad (1-6)$$

在一般情况下，为了保证试用的点电荷 q 的引入不会引起原来电荷分布情况的改变，必须令 q 的电荷量极为微小而趋近于零值。因之电场强度的定义也可以叙述为：当试用的点电荷 q 的电量趋近于零时，它在电场中所受的力 \mathbf{F} 与 q 的比值叫做 q 所在点的电场强度 \mathbf{E} ，即

$$\mathbf{E} = \lim_{q \rightarrow 0} \frac{\mathbf{F}}{q}. \quad (1-7)$$

应当指出，即使 $q \rightarrow 0$ ，它引入后也不可能避免地会引起原有电场的某些改变，特别在 q 所在点的直接附近更是如此。由于点电荷 q 的半径为零，所以即使电荷量 $q \rightarrow 0$ ，在 q 引入后在 q 点直接附近的总电场强度就将由原来的某值一变而为无穷大。 $q \rightarrow 0$ 只是保证了原来电荷的分布情况不会因 q 的引入而发生变化，也就是在原来电荷的直接附近的电场强度不致发生变化而已。某些书上所说的“微小的试验电荷的携入可不致使原有电场发生改变”是不正确的。

试验电荷 q 在电场中受的力可由(1-3)式求出为

$$\mathbf{F} = q\mathbf{E}. \quad (1-8)$$

在应用上式时要注意两点：(1) 上式只是在 q 的引入不会使原来的电荷分布情况发生改变的条件下才是正确的；(2) 上式中的 \mathbf{E} 是在 q 没有引入以前在该点的电场强度，而不是 q 引入后在该点出现的总的电场强度。

电场的特征可以用电力线的分布情况来表示。所谓电力线就是在线上每一点的切线方向都与该点电场强度 \mathbf{E} 的方向相同的曲线。由于在一个点子上的 \mathbf{E} 只有一个方向，所以电力线是不会互相交叉的。在电场中的每个点子都通过相应的一根电力线，而在整个电场中可以画出无穷多根电力线来。例如，一个点电荷的电场的电力线就是由点电荷向外辐射的无穷多根辐射线。如果我们在垂直于电力线的单位截面上只画出等于该截面中心的电场强度值数目的电力线，那末根据电力线的疏密，就可决定电场强度值的大小。

为了求出电力线的方程式，可以从电场中任一点 P 的电场强度 \mathbf{E} 出发。已知

$$\mathbf{E} = i E_x + j E_y + k E_z;$$

式中， i, j, k 各为沿 x, y, z 轴方向的单位向量。假设电力线在 P 点的一个元段

$$dl = i dx + j dy + k dz,$$

那末为了使 \mathbf{E} 的方向与 dl 的方向相一致，显然必须满足

$$\cos \alpha = \frac{E_x}{|\mathbf{E}|} = \frac{dx}{|dl|};$$

式中， α 为 \mathbf{E} 与 x 轴的夹角。上式可改写为

$$\frac{E_x}{dx} = \frac{|\mathbf{E}|}{|dl|}.$$

同理还必须满足

$$\frac{E_y}{dy} = \frac{|\mathbf{E}|}{|dl|},$$

$$\frac{E_z}{dz} = \frac{|E|}{|dl|}.$$

将上三式合并，可得

$$\frac{dx}{E_x} = \frac{dy}{E_y} = \frac{dz}{E_z}, \quad (1-9)$$

即为电力线的微分方程，经积分即可求出电力线的方程式。

根据定义可知，电力线是从正电荷出发，而终止到负电荷上的，因此在静电场中不可能出现封闭的电力线。

[例 1-1] 在无穷大的平板上有电荷，电荷密度为 σ 。求空间任一点的电场强度及电力线的方程式。

解：将无穷大的平板认为由半径为 r 宽度为 dr 的很多圆环所组成，并且将坐标的原点取在这些圆环的中心，而令 P 点正好在 z 轴上（参看图 1-1）。

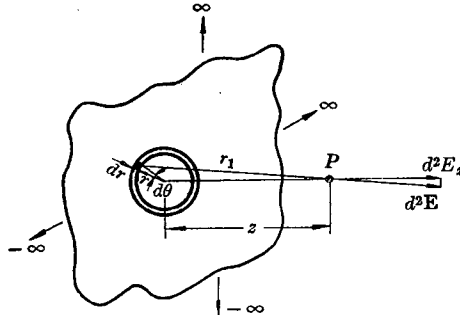


图 1-1 带电的无穷大平板外的电场计算用图

在 $dr \cdot rd\theta$ 元面积上，与元电荷 $dq = \sigma r d\theta dr$ 相应的在 P 点的电场强度为

$$d^2\mathbf{E} = \frac{1}{4\pi \epsilon_0 \epsilon_r} \frac{\sigma r dr d\theta}{r_1^3} \mathbf{r}_1.$$

由于对称的关系，同整个圆环中的电荷相应的在 P 点的电场强度显然为 z 方向的，所以为了求整个圆环上的电荷在 P 点的电场强度 dE_z ，可只将 $d^2\mathbf{E}$ 在 z 轴的分量

$$d^2E_z = |d^2\mathbf{E}| \frac{z}{r_1} = |d^2\mathbf{E}| \frac{z}{(z^2 + r^2)^{\frac{3}{2}}}$$

对 θ 积分而得，即

$$dE_z = \int d^2E_z = \int_0^{2\pi} \frac{\sigma r dr d\theta}{4\pi \epsilon_0 \epsilon_r (z^2 + r^2)^{\frac{3}{2}}} = \frac{\sigma r dr}{2 \epsilon_0 \epsilon_r (z^2 + r^2)^{\frac{3}{2}}}.$$

求整个平板上的电荷在 P 点的电场强度 E_z 时，可将上式对 r 积分，即

$$E_z = \int dE_z = \int_0^\infty \frac{\sigma r dr}{2\epsilon_0 \epsilon_r (z^2 + r^2)^{\frac{3}{2}}} = \frac{\sigma}{2\epsilon_0 \epsilon_r}. \quad (1-10)$$

电力线的方程式，可以从(1-9)式求得。此时 $E_z = \frac{\sigma}{2\epsilon_0 \epsilon_r}$, $E_x = E_y = 0$, 所以(1-9)式变成

$$dx = 0, \quad dy = 0;$$

经过积分即得电力线的方程式

$$\left. \begin{array}{l} x = C_1, \\ y = C_2; \end{array} \right\} \quad (1-11)$$

式中， C_1 及 C_2 为任意常数。此时电力线为平行于 z 轴的任意直线。

[例 1-2] 有一个无穷长的细直线，每单位长度的电荷为 σ ，求空间任一点的电场强度和电力线的方程式。

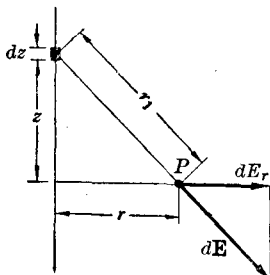


图 1-2 带电的无穷长细直线周
围电场的计算用图

解：参看图 1-2，元电荷 σdz 在 P 点的电场强度为

$$d\mathbf{E} = \frac{\sigma dz \mathbf{r}_1}{4\pi \epsilon_0 \epsilon_r r_1^3}.$$

由于对称的关系，整个线电荷在 P 点的电场强度 \mathbf{E} 将只在 r 方向，于是只要将上式中的 $d\mathbf{E}$ 在 r 方向的分量 $d\mathbf{E}_r$ 对 z 积分即可求得 \mathbf{E} ：

$$d\mathbf{E}_r = |d\mathbf{E}| \frac{r}{r_1},$$

$$\begin{aligned} \therefore E_r &= \int dE_r = \int_{-\infty}^{+\infty} \frac{\sigma r dz}{4\pi \epsilon_0 \epsilon_r r_1^3} \\ &= \int_{-\infty}^{+\infty} \frac{\sigma r dz}{4\pi \epsilon_0 \epsilon_r (r^2 + z^2)^{\frac{3}{2}}} = \frac{\sigma}{2\pi \epsilon_0 \epsilon_r r}. \end{aligned}$$

求电力线的方程式时，可以将(1-9)式改为圆柱坐标的形式，即